



## روش نانوفوژگری شبیه‌سازی شده برای تعیین مایکرو تنش‌پسمند یک لایه تک‌جهته کامپوزیتی

محمود مهرداد شکریه<sup>\*</sup>، محمد حسن شاعلی<sup>۲</sup>

۱- استاد، مهندسی مکانیک، دانشگاه علم و صنعت ایران، تهران

۲- دانشجوی کارشناسی ارشد، مهندسی مکانیک، دانشگاه علم و صنعت ایران، تهران

\* تهران، صندوق پستی، ۱۶۸۴۶-۱۳۱۱۴، shokrieh@iust.ac.ir

### چکیده

آزمون نفوذگری روشی است که از طریق بررسی رفتار ماده در پاسخ به عمل نفوذگری روی جسم به اطلاعاتی در مورد آن دست می‌یابد. از مهم‌ترین اطلاعاتی که می‌توان از این پاسخ گرفت، مدول الاستیسیته و همچنین تنش‌پسمند نهفته در جسم است. کامپوزیت‌ها ترکیبی از دو یا چند ماده متفاوت هستند و تنش‌های پسمند نیز به دلیل همین اختلاف و ناهمگونی ایجاد می‌شود. با توجه به اثرات محرابی که این نوع تنش‌ها بر عملکرد سازه‌های کامپوزیتی دارند، تعیین مقدار و توزیع آن‌ها ضروری است. در کامپوزیت‌های لایه‌ای، برای تعیین تنش‌های پسمند در مقیاس مکرومکانیک روش‌های تجربی و مکانیکی وجود دارد، اما برای تعیین تنش‌های پسمند در مقیاس مایکرومکانیک روشی تجربی و مکانیکی که بتواند این تنش‌ها را اندازه‌گیری کند، وجود ندارد. هدف از پژوهش حاضر، شبیه‌سازی المان محدود آزمون نفوذگری برای تعیین مدول الاستیسیته و همچنین مایکرو تنش‌پسمند در یک لایه تک‌جهته کامپوزیتی است. برای این منظور، المان حجمی معرف مناسی از کامپوزیت در نظر گرفته شده و نفوذگر مجازی روی آن انجام شده است. نتایج نشان می‌دهد که مدول الاستیسیته تخمین زده شده برای الیاف، به این روش، به عمق نفوذ نفوذگر وابسته است، اما تنش‌پسمند محاسبه شده، مستقل از عمق نفوذ نفوذگر است. برای بررسی تاثیر ماتریس روی نتایج نفوذگری در الیاف، علاوه بر مدل‌سازی کامپوزیت، یک ماده همسانگرد که خواصی مشابه با الیاف شبیه دارد نیز مدل‌سازی شده است و نتایج آن با نتایج کامپوزیت مقایسه شده است.

### اطلاعات مقاله

دریافت: ۹۴/۴/۲۳

پذیرش: ۹۴/۷/۱۹

### کلیدواژگان:

تعیین تنش‌های پسمند

مایکرومکانیک

شبیه‌سازی روش نفوذگری

کامپوزیت

روش اجزاء محدود

## Simulated nano-indentation method for estimation of micro-residual stresses of a unidirectional composite ply

Mahmood Mehrdad Shokrieh\*, Mohammad Hasan Shaali

Composites Research Laboratory, Center of Excellence in Experimental Solid Mechanics and Dynamics, School of Mechanical Engineering, Iran University of Science and Technology, Tehran, Iran.

\*P.O.B. 16846-13114, Tehran, Iran, shokrieh@iust.ac.ir.

### Keywords

Determination of residual stresses  
Micromechanics  
Simulated indentation composites  
Finite element method

### Abstract

Indentation test is a method in which the behavior of a material, in response to the indentation can provide a variety of information. Residual stresses within the body and modulus of elasticity are of the most important information that can be obtained from this response. A composite material is a combination of two or more different materials and due to this difference and heterogeneity a residual stress occurs in them. Considering the destructive effects of this kind of stresses on performance of composite structures, it is necessary to determine the magnitudes and distribution of them. Currently there are some mechanical experimental methods for determining macro residual stresses in laminated composites. However, there is no mechanical experimental method for determination of micro residual stresses in a unidirectional ply. In this research, a finite element simulation of the indentation test for determining the modulus of elasticity and micro-residual stresses of a unidirectional composite ply is presented. For this purpose, an appropriate representative volume element of the unidirectional composite ply has been considered and a virtual indentation has been applied on it. The results show that the estimated modulus of elasticity for the fiber in this way depends on the penetration depth, while the estimated residual stresses are independent of the penetration depth. To evaluate the effect of matrix on the results of the indentation in fibers, an isotropic material with similar properties to the glass fiber, has been modeled and the results were compared with the results of indentation on composites.

### Please cite this article using:

Shokrieh, M. M. and Shaali, M. H., "Simulated nano-indentation method for estimation of micro-residual stresses of a unidirectional composite ply", In Persian, Journal of Science and Technology of Composites, Vol. 2, No. 4, pp. 1-12, 2016.

برای ارجاع به این مقاله از عبارت زیر استفاده نمایید:

## ۱- مقدمه

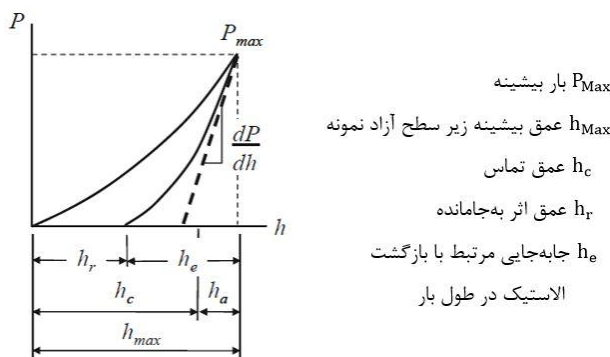
## ۱-۱- مرواری بر تنش‌پسماند

مستقیم و مخرب، تنش‌پسماند را بدون هیچ نمونه مرجعی اندازه‌گیری کند. هرچند ذات مخرب این روش‌ها، کاربری گستردۀ این روش‌ها را در صنعت محدود می‌کند. در حالی که روش‌های مبتنی بر بررسی خواص فیزیکی (مثل پراش اشعه ایکس<sup>۴</sup>، امواج مافوا صوت، بارک‌هاوزن<sup>۵</sup>، پراش نوترونی و طیف‌ستنجی رامان<sup>۶</sup>) می‌توانند تنش‌های پسماند را به صورت غیرمستقیم و غیرمخرب به دست آورند. جاذسازی اثرات ذاتی ریزساختاری بر روی خواص فیزیکی از اثرات تنش‌پسماند، همواره دشوار خواهد بود، لذا این روش‌ها برای انجام مقایسه نیاز به آماده‌سازی سطح مرجع بدون تنش دارند.

روش دیگری که می‌توان به فهرست روش‌های اندازه‌گیری تنش‌پسماند اضافه کرد، روش نفوژگری کاربردی است (خصوصاً نانوفوژگری) که به عنوان روشی قدرتمند در تعیین رفتار مکانیکی جرم‌های کوچک ماده در دو دهه‌ی گذشته به سمعت گسترش پیدا کرد. نفوژگری کاربردی، اندازه‌گیری طیف گستردۀ از خواص مکانیکی (مانند سختی، سفتی، مقاومت تسلیم، توان کار سختی<sup>۷</sup>، توان تنش خزشی<sup>۸</sup>، چقرمگی شکست) همچنین خواص مکانیکی کوچک‌مقیاس (مثل اثر اندازه‌ی نفوژگری، انتقال فاز نیمه‌سانه‌ها تحت فشار، تغییر شکل ناهمگن آلیاژهای غیر متبالور) را تنها با بررسی منحنی نیرو-جابجایی (p-h) نفوژگری و بدون نیاز به مشاهده اثر سختی به وسیله میکروسکوپ، امکان‌پذیر کرد [۴].

## ۱-۲- مرواری بر روش نانوفوژگری

هدف اصلی آزمایش نانوفوژگری استخراج سفتی و سختی ماده نمونه با استفاده از بررسی تحریی بار نفوژگر و عمق نفوذ است. در یک آزمایش نوعی، نیرو و عمق نفوذ طوری ثبت‌شده‌اند که بار به کار گرفته شده از صفر تا مقدار بیشینه افزایش می‌یابد و سپس از نیروی بیشینه تا صفر کم می‌شود [۵]. تحلیل پاسخ بخش اولیه باربرداری الاستیک، تخمین‌هایی از مدول‌های الاستیک ماده نفوژگری شده ارائه می‌دهد. شکل منحنی بار-جابجایی برای رایج‌ترین نفوژگرها خیلی شبیه هستند و مطابق با شکل ۱ می‌باشدند.



شکل ۱ منحنی بار-جابجایی برای رایج‌ترین نفوژگرها [۵]

روش الیور-فار رایج‌ترین روش برای تخمین و محاسبه سطح تصویر شده تماس و محاسبه مدول الاستیک در مواد معمولی است [۶، ۵]. مساحت تصویر شده تماس A، تحت بیشترین بار نفوذ با نفوژگر مخروطی، بر اساس عمق تماس<sub>c</sub> تخمین زده می‌شود.

$$A = \pi(h_c \tan \theta)^2 \quad (1)$$

- 4. X-ray diffraction
- 5. Magnetic Barkhausen Noise
- 6. Raman spectra
- 7. Work-hardening exponent
- 8. Creep stress exponent

تنش‌پسماند عبارت است از تنشی که در جسم وجود دارد، بدون آنکه جسم تحت بار خارجی و یا گرادیان‌های دمایی قرار داشته باشد. بخشی از مقاومت جسم صرف غلبه بر این تنش‌ها می‌گردد. ناهمخوانی حرارتی یا عملیات مکانیکی-حرارتی در طی مراحل ساخت، در بسیاری از قطعات و دستگاه‌های مهندسی که از مواد مختلف ساخته شده‌اند (شامل سرامیک‌ها، فلزات و شبیه-ها) می‌توانند تنش‌پسماند ایجاد کنند. تنش‌های پسماند در مواد همسانگرد، در اثر فرآیندهای ساخت نظیر جوشکاری، نورد، ماشین‌کاری و غیره ایجاد می‌گردد. در یک لایه کامپوزیتی تکجهتی پس از اتمام مرحله پخت در کوره، درجه حرارت آن‌ها از دمای پخت به دمای محیط کاهش می‌یابد. به علت عدم تطابق ضرایب انبساط حرارتی الیاف و ماتریس، انقباض و انبساط حرارتی متفاوت لایه‌های متوالی به دلیل اختلاف جهات اصلی آن‌ها و انجام غیریکنواخت قطعه به علت گرادیان‌های دمایی شدید در فرآیند ساخت، تنش‌های پسماند به وجود می‌آید [۱].

در کامپوزیت‌ها عموماً در چندلایه‌های باضخامت پایین، تنش‌های پسماند در دو مقیاس مایکرومکانیک و مکرومکانیک مورد بررسی قرار می‌گیرند. تنش‌های مایکرو به دلیل عدم تطابق در ضرایب انبساط حرارتی الیاف و ماتریس به وجود می‌آیند، در حالی که اختلاف در جهات اصلی لایه‌ها عامل تشکیل تنش‌های مکرو است. در هر یک از لایه‌های مربوط به یک چندلایه به دلیل عدم تطابق در ضرایب انبساط حرارتی اجزای اصلی کامپوزیت، تنش‌های مایکرو نیز وجود دارند که بر میدان تنش‌های پسماند چندلایه مؤثر هستند. طبق تحقیقات پیشین [۲]، صرف‌نظر کردن از مایکرو تنش‌های پسماند، می‌تواند منجر به خطای قابل ملاحظه‌ای در پیش‌بینی تنش‌های پسماند هر یک از لایه‌های یک چندلایه‌ای کامپوزیتی گردد.

تنش‌های پسماند تأثیر عمده‌ای بر خواص کامپوزیتها دارند. این تنش‌ها باعث ترک برداشت ماتریس، لایه‌لایه شدن سازه، پاره شدن الیاف و تاب خودگی چندلایه‌های نامتقارن شده و تأثیر قابل توجهی در کاهش استحکام نهایی سازه دارند. در برخی از مواد، مقدار تنش‌های پسماند در راستای عمود بر الیاف در یک جسم ارتقابوپ به قدری بالاست که می‌تواند باعث ایجاد ترک‌های عرضی در ماتریس شده و قطعه سریع تر از آنچه پیش‌بینی شده تخریب گردد. تنش‌های پسماند درون لایه‌ای سبب به وجود آمدن تنش‌های برشی و عمودی بین لایه‌ای و تقویت اثر مزی شده که این موضوع می‌تواند به ترک خودگی ماتریس و یا تورق لایه‌ها منتهی گردد [۳]. تأثیر تنش‌های پسماند در شکل ظاهری چندلایه‌های کامپوزیتی نامتقارن، تاب خودگی یا کماش قطعه است. بنابراین تعیین تنش‌های پسماند از اهمیت بالایی برخوردار است. اگر این تنش‌ها نادیده فرض شده و یا به درستی محاسبه نگردد، ضریب اطمینان بیشتری در طراحی موردنیاز بوده که منجر به تولید قطعات غیر بینه‌گردیده و وزن سازه را افزایش می‌دهد.

در حال حاضر روش‌های مختلفی برای اندازه‌گیری تنش‌پسماند موجود است. روش‌های مرسوم را می‌توان به دو دسته تقسیم‌بندی نمود. روش‌های مبتنی بر آزادسازی تنش و روش‌های مبتنی بر بررسی خواص فیزیکی، روش‌هایی مبتنی بر آزادسازی تنش، شامل یک روش کرنش سنجی (مثل روش سوراخ‌کاری<sup>۹</sup> و شیارزنی<sup>۱۰</sup>) برای مواد حجیم و یک روش انحنای سنجی (مثل روش برداشت لایه<sup>۱۱</sup>) برای یک سیستم لایه و غشاء می‌تواند به صورت

- 1. Hole-drilling
- 2. Saw-cutting
- 3. Layer-removal

دومحوره‌ی برابر بر روی نیروی عمودی نفوژگری را می‌توان از مؤلفه‌ی انحرافی تنش انتخاب شده تعریف کرد.

$$P_R = \frac{2}{3} \sigma_R A_C \quad (5)$$

در این رابطه  $P_R$  تأثیر تنش پسماند روی نیروی نفوژگری است و می‌تواند به عنوان اختلاف نیروی  $P$  بین حالت بدون تنش و حالت تنش دار در یک عمق نفوژ ثابت، به صورت تجربی اندازه‌گیری شود. در تحقیقات بعدی [۹] آن‌ها با معرفی نسبت تنش ( $K$ ) به عنوان نسبت مؤلفه‌ی کوچک‌تر تنش پسماند درون صفحه‌ای  $\sigma_R^y$  به مؤلفه‌ی بزرگ‌تر  $\sigma_R^x$  به نحوی که  $\sigma_R^y = K\sigma_R^x$ ، مدلشان را توسعه دادند. با قرار دادن نسبت تنش  $K$  در رابطه‌ی قبلی، به عبارت زیر دست یافتند:

$$P_R = \frac{-(1 + \kappa)}{3} \sigma_R^x A_C \quad (6)$$

یافته‌ها نشان می‌دهند که نتایج تجربی توافق خوبی با این روابط دارد. احتمالاً این مدل گسترده‌ترین کاربرد را در متون علمی دارد. این احتمالاً به دلیل آن است که در کار آن‌ها اکثرًا از آزمایش مایکرونفوژگری در بارهای زیاد استفاده می‌شود (در مقابل نانوفوژگری) و لذا جایه‌جایی نسبتاً اندک منحنی که در نانوفوژگری به وجود می‌آید را بزرگ‌تر می‌کند [۴]. مدل سورش و گیاناکوپولوس [۷] محدود است به تنش پسماند دومحوره‌ی برابر در حالی که مدل ای و همکارانش [۹] راهی برای در نظر گرفتن تنش پسماند دومحوره ارائه می‌دهد.

تلjet و فار [۱۰] با استفاده از شبیه‌سازی‌های المان محدود روی نفوژگری کروی تأثیرات عمدت‌های از تنش پسماند دومحوره‌ی برابر را روی رفتار نیرو-جایه‌جایی (P-h) در مرحله‌ی انتقال الاستیک به پلاستیک مشاهده کردند. سوادنر<sup>۱</sup> و همکارانش [۱۱] برای اینکه دریابند که آیا این تأثیرات به صورت تجربی قابل‌اندازه‌گیری است، روی چند دیسک از آلیاژ‌های مختلف آلومینیوم صیقل داده شده که می‌توانستند تا حد تعیین‌شده‌ای تنش کششی یا فشاری دومحوره‌ی برابر پیدا کنند، آزمایشات نانوفوژگری کروی را انجام دادند. آن‌ها دریافتند که تنش کششی با افزایش پلاستیستیه، منحنی‌های نانوفوژگری را به عمق‌هایی که به صورت قابل‌مالحظه‌ای بیشتر بودند، انتقال می‌دهد. در حالی که تنش فشاری تأثیر عکس دارد. سوادنر و همکارانش [۱۱] بر اساس این مشاهدات، دو روش متفاوت را برای اندازه‌گیری تنش پسماند با استفاده از نفوژگر کروی، ارائه دادند. روش اول بر این اساس است که عمق اندازه‌گیری شده‌ای که تسلیم در آن اتفاق می‌افتد، از تنش، به گونه‌ای که با مکانیک تماس هرتز قابل تحلیل است، تأثیر می‌پذیرد. این روش احتمالاً نیاز به شعاع نفوژگر سیار بزرگی در آزمایش‌ها دارد. روش دوم سوادنر و همکارانش بر اساس مشاهدات تجربی از رابطه‌ی بین فشار تماس و شخصی بی‌بعد از پلاستیستیه است. طبق مشاهدات آن‌ها، نمودارها به اندازه‌ای که به مقدار نسبی تنش دومحوره‌ی اعمالی بسیار نزدیک است، به صورت عمودی جایه‌جاشده‌اند.

علاوه بر مدل‌های تئوری که مرور شد، برخی محققین از شبیه‌سازی‌های عددی برای یافتن تأثیر تنش پسماند روی رفتار نفوژگری کاربردی استفاده کردند [۱۲، ۱۳].

در تحقیق حاضر، ابتدا مایکروتنش‌های پسماند در یک تک‌لایه‌ای کامپوزیتی پلیمری با استفاده از روش المان محدود در نرم‌افزار آباکوس بدست آمده‌است و سپس به صورت معکوس، با شبیه‌سازی آزمایش

شیب اولیه منحنی باربرداری یعنی سفتی تماس را می‌توان توسط مشتق تحلیلی زیر به دست آورد.

$$S = \left( \frac{dP}{dh} \right)_{h=h_{max}} \quad (2)$$

که  $h_{max}$  بیشترین عمق نفوژ در طی آزمایش است. رابطه بین شیب اولیه منحنی باربرداری، مساحت تماس و مدول الاستیستیه کاهش‌یافته  $E_{eff}$  به صورت زیر است [۶].

$$E_{eff} = \frac{S \sqrt{\pi}}{2\beta \sqrt{A}} \quad (3)$$

$\beta$  ضریب تصحیحی است که در واقع وظیفه آن تصحیح شیب اولیه منحنی باربرداری، به علت ساده‌سازی‌ها و فرضیاتی است که انجام گرفته است. راجح‌ترین دلیلی که این ضریب تصحیح مورداستفاده قرار می‌گیرد، مربوط به اختلاف هندسه بین نفوژگر هرمی و نفوژگر متقارن مخروطی است، که اساس معادلات تحلیلی را تشکیل می‌دهد. داؤ و همکارانش، با یک تحلیل المان محدود کامل‌سه‌بعدی، مقدار  $\beta$  را برای یک نفوژگر مخروطی معادل ۱/۰۵۹۵ تعیین کردند [۵].

رابطه بین مدول الاستیستیه کاهش‌یافته، خواص الاستیک ماده و خواص الاستیک نفوژگر به این صورت است [۶].

$$\frac{1}{E_{eff}} = \frac{1 - v^2}{E} + \frac{1 - v_i^2}{E_i} \quad (4)$$

که در آن زیر نگاشت  $v$  نمایانگر نفوژگر است.

### ۱-۳- تعیین تنش پسماند از طریق نفوژگری

پژوهش‌های فراوانی برای تعیین تنش‌های پسماند به‌وسیله‌ی نفوژگری کاربردی در حال انجام است [۴]، زیرا این روش غیر مخرب مکانیکی می‌تواند محدودیت‌های روش‌های مرسوم شامل روش‌های مخرب مکانیکی و غیر مخرب فیزیکی را از میان بردارد. در ادامه به برخی از این روش‌ها اشاره می‌شود.

روش سورش و گیاناکوپولوس [۷] یکی از مشهورترین این روش‌ها است. روش آن‌ها، روشی ساده به‌وسیله‌ی نفوژگری با نفوژگر نوک‌تیز، برای تعیین تنش پسماند ایجاد شده است. این روش بر پایه‌ی دو فرض قرار دارد: اولاً آن که تنش پسماند دومحوره‌ی برابر الاستیک سطحی<sup>۲</sup>، در عمقی که نفوژگر روی آن تأثیر دارد یکنواخت باشد؛ ثانیاً تنش پسماند دومحوره‌ی برابر در سطح نفوژگری شده<sup>۳</sup>، با یک تنش هیدرواستاتیک به‌علاوه‌ی یک مؤلفه‌ی تنش تک‌محوره که می‌تواند یک نیروی نفوژگری تفاضلی ایجاد کند، معادل خواهد بود. این محققین تأثیر یک تنش پسماند را روی شکل منحنی نفوژگری بررسی کردند و با در نظر گرفتن تغییرات در سطح تماس، تنش پسماند را تخمین زدند. هرچند چون در آزمایشات نانوفوژگری تأثیر تنش روی سطح تماس نسبتاً ناچیز است، این روش فقط زمانی کاربرد دارد که تنش پسماند خیلی بزرگ باشد (تقریباً نزدیک تنش تسلیم) و فقط در موادی که برآمدگی<sup>۴</sup> ماده در آن‌ها چشمگیر باشد. این باعث محدودیت این روش در کاربردهای عملی در حالت عمومی می‌شود [۴].

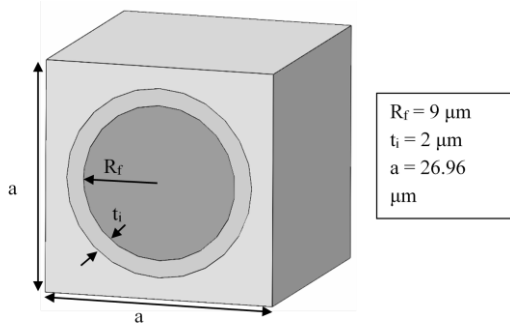
لی و همکارانش [۸] با تفسیر تأثیر تنش پسماند دومحوره‌ی برابر، به عنوان مؤلفه‌ای عمودی، در قسمت انحرافی تانسور تنش ایده‌ی سورش و گیاناکوپولوس را اصلاح کردند. آن‌ها دریافتند که تأثیر یک تنش پسماند

1. Elastic equi-biaxial residual stress at the Surface

2. Equi-biaxial residual stress at the indented surface

3. Pile-up

برای القای مایکرو‌تنش‌پسماند حرارتی در کامپوزیت، کاهش دمای ۱۲۰ درجه‌ای به طور یکنواخت به کل مدل اعمال شده است. در شکل ۳، نمایی از ویژگی‌های هندسی کامپوزیت انتخاب شده در این پژوهش نمایش داده شده است.  $R_f$  شعاع الیاف،  $t_i$  ضخامت ناحیه فاز مشترک و  $a$  نشان‌دهنده‌ی ابعاد ماتریس است.



شکل ۳ المان حجمی نمونه‌ی کامپوزیت

#### ۴- یافتن المان حجمی معرف مناسب

در مدل‌سازی تنش‌های پسماند در کامپوزیت‌های الیافی، مهم‌ترین مسئله معرفی یک المان حجمی شاخص است، بهنحوی که بتواند به خوبی نماینده کامپوزیت بوده و دقت قابل قبولی داشته باشد. در این قسمت تلاش شده است تا المان حجمی مناسبی برای انجام شبیه‌سازی نفوذگری انتخاب شود. المان حجمی مناسب باید تا حد امکان کوچک باشد تا تعداد المان‌ها و به تبع آن زمان انجام تحلیل زیاد نشود. از سوی دیگر لازم است که المان حجمی به اندازه‌ای بزرگ باشد که بتواند نماینده مناسبی برای شرایط واقعی باشد. سطح بالای المان مناسب برای نفوذگری باید دارای شرایط مرزی آزاد باشد. چراکه نفوذگری در مرکز الیاف سطحی انجام خواهد گرفت (مطابق شکل ۲).

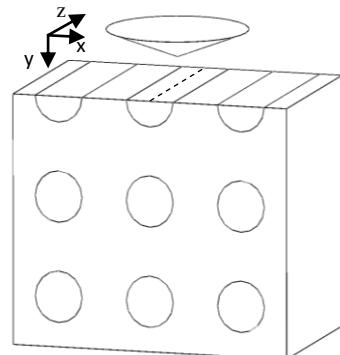
توزیع خواص در فاز مشترک<sup>۱</sup> تقریباً از خاصیت توده‌ای الیاف در سطح مشترک الیاف و فاز مشترک آغاز می‌شود و به تدریج تا خاصیت توده‌ای ماتریس، در سطح مشترک دیگر تغییر می‌یابد.

برای مدل کردن ناحیه‌ی فاز مشترک، از این ایده استفاده شد که ناحیه‌ی به ضخامت ۲ مایکرومتری را به تعدادی زیر ناحیه در مدل تبدیل کرده و برای هر یک از این زیر ناحیه‌ها خواص مکانیکی متفاوت از لایه‌های مجاور داده شود و مقادیر خواص بر روی لایه‌ها به نحوی انتخاب شود که در امتداد کل ناحیه‌ی فاز مشترک از یک الگوی تغییر خواص خطی در این ناحیه پیروی کند. در اینجا فاز مشترک به صورت ۶ لایه‌ای مدل شده است. شرط مرزی که به صورت گستردگی مورد استفاده قرار گرفت، شرط جابجایی یکسان تمام نقاط روی وجود خارجی المان‌های حجمی در راستای عمود بر آن وجه است. به این ترتیب تمام نقاط یک وجه در یک صفحه جابجا خواهند شد. با توجه به شرایط مرزی و هندسه المان‌های حجمی انتخاب شده، این شرط در واقع همان شرایط مرزی تقارن، نسبت به وجه موردنظر را القاء خواهد کرد. در این بخش، تأثیر افزودن سلول‌های مجاور روی تنش‌های پسماند موجود در الیاف سطحی بررسی شده است. تمامی وجوده خارجی دارای شرط جابجایی یکسان تمام نقاط روی وجوده در راستای عمود بر آن وجه هستند، بجز وجوده بالایی که آزاد هستند. در اینجا تنش‌پسماند در رشتۀ سطحی شاخص قرار گرفته است. سلول‌های واحد به دو صورت عمودی و افقی به المان حجمی اضافه شده‌اند.

نفوذگری، این تنش‌ها محاسبه خواهد شد. تاکنون هیچ روش مکانیکی، برای این منظور مورد استفاده قرار نگرفته است. علاوه بر تنش‌پسماند، مدل الاستیستیه نیز به این روش تحقیق زده خواهد شد. در این تحقیق، از میان روش‌های نفوذگری که برای تعیین تنش‌پسماند بیان شد، با توجه به محدودیت‌های مسئله موردنبررسی و نیز کاستی‌هایی که خود روش‌ها دارند، روش لی [۹] انتخاب شد.

#### ۲- انتخاب نقطه مناسب برای نفوذ نفوذگری

برای مدل کردن کامپوزیت الیافی تک‌جهت، چیدمان‌های مختلفی در نظر گرفته می‌شود که هر یک از نظم خاصی پیروی می‌کند، ولی در واقع توزیع الیاف در ماتریس به صورت تصادفی است. به همین دلیل فاصله بین هر دو تک‌رشته در یک کامپوزیت واقعی، متفاوت است. این باعث می‌شود توزیع تنش در ماتریس، در بین هر دو تک‌رشته‌ای متفاوت باشد. در مقابل مقدار تنش در الیاف از توزیع یکنواخت‌تری برخوردار است [۱۴]. به همین دلیل، از این به بعد، مقدار تنش‌ها در الیاف، موردنبررسی قرار خواهد گرفت. تنش‌ها در خود الیاف هم دارای توزیع است و بنابراین باید نقطه خاصی از الیاف را شناسخ قرار داده و بررسی کرد. برای انتخاب این نقطه، باید نسبت به آزمایش نفوذگری روی کامپوزیت در شرایط واقعی توجه نمود و این نقطه باید به گونه‌ای انتخاب شود که ساخت نمونه مناسب برای انجام آزمایش امکان‌پذیر باشد. به نظر می‌رسد بهترین گزینه، همان مرکز الیاف باشد. نفوذ در مرکز الیاف مطابق با شکل ۲ خواهد بود. برای انتخاب نقطه مناسب برای نفوذ، باید به اندازه کافی از دوسر کامپوزیت دور شد تا تغییرات تنش‌های پسماند در راستای طولی الیاف بسیار کوچک شوند و تنش‌های پسماند به یک مقدار ثابت برستند. شایان ذکر است که قسمت اعظم طول کامپوزیت (کامپوزیت با الیاف بلند) دارای همین مقادیر تنش‌ها هستند و تهبا بخش بسیار کوچکی از دوسر کامپوزیت دارای تغییرات تنش‌پسماند هستند.



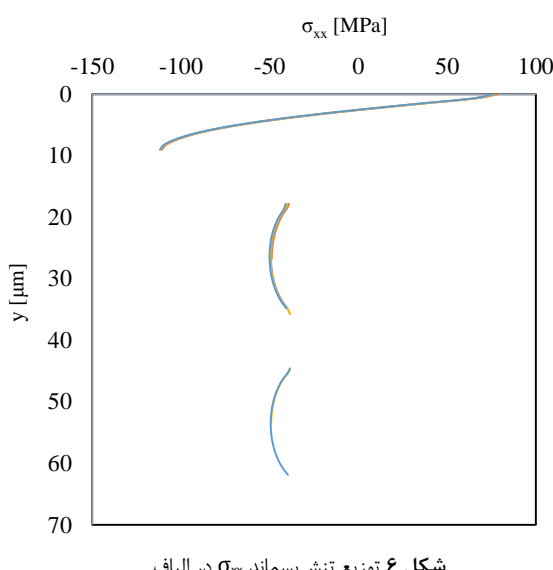
شکل ۲ نفوذ در الیاف، به صورت عمود بر راستای محوری الیاف

#### ۳- خواص مواد

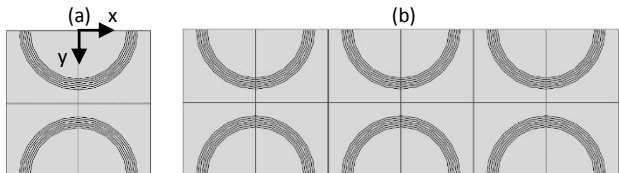
خواص مکانیکی مواد مورد نظر در شبیه‌سازی کامپوزیت در جدول ۱ آورده شده است. مواد به صورت الاستیک-کاملاً پلاستیک مدل شده‌اند و برای الیاف شیشه از استحکام تسلیم فشاری استفاده شده است، چراکه ناحیه زیر نفوذگر در طی عملیات نفوذگری تحت تنش فشاری قرار می‌گیرد و به تسلیم می‌رسد. گفتنی است که استحکام تسلیم کششی برای الیاف شیشه ۳۵۰۰ MPa است. درصد حجمی الیاف با توجه به مقادیر داده شده ۳۵٪ است. خواص با توجه به منابع [۱۵] و [۱۶] انتخاب شده‌اند. در مدل‌ها فرض شده است که تک رشتۀ‌ها به صورت یکنواخت در ماتریس غوطه‌ور شده‌اند و شکل موجی ندارند.

جدول ۱ خواص مواد

$\rho [gr/cm^3]$	$\alpha [10^{-6} K^{-1}]$	$\nu$	$\sigma_y [MPa]$	$E [GPa]$	ماده	ناحیه
۲/۶	۵/۵	۰/۱۸	۱۱۰	۷۳	الیاف شیشه	الیاف
۱/۲	۱۰۰	۰/۲۷	۱۴۰	۳/۵	پلی‌استر	ماتریس

شکل ۶ توزیع تنش پسماند  $\sigma_{xx}$  در الیاف

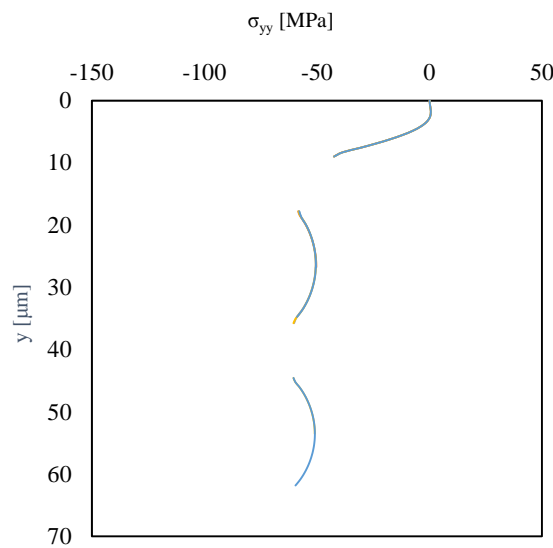
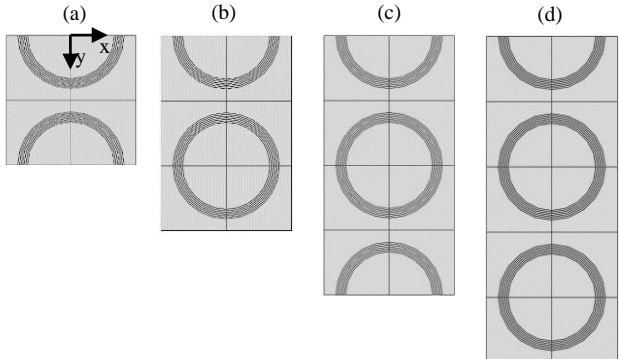
ابتدا تأثیر افزودن سلوول‌های واحد به صورت افقی، مطابق شکل ۴ مورد بررسی قرار گرفته است.



شکل ۴ المان‌های حجمی در نظر گرفته شده برای بررسی تأثیر افزودن سلوول‌ها به صورت افقی

بررسی نتایج نشان می‌دهد که افزودن سلوول‌ها به المان حجمی شاخص به صورت افقی، هیچ تأثیری روی توزیع تنش‌های پسماند نخواهد گذاشت و توزیع تنش پسماند در تمامی سلوول‌های واحد نمایش داده شده در شکل ۴ کاملاً یکسان است.

در ادامه تأثیر افزودن سلوول‌ها به صورت عمودی، مطابق شکل ۵ بررسی شده است. در شکل ۶ و شکل ۷ و شکل ۸ به ترتیب توزیع تنش‌های  $\sigma_{yy}$  و  $\sigma_{yy}$  در الیاف و در امتداد محور y، برای چهار المان حجمی که در شکل ۵ نمایش داده شده است، رسم شده است. چون مقادیر داده‌ها بسیار به هم نزدیک است، نمودارهای مربوط به هر چهار شکل ۵-a تا ۵-d تقریباً روی هم افتدند.

شکل ۷ توزیع تنش پسماند  $\sigma_{yy}$  در الیاف

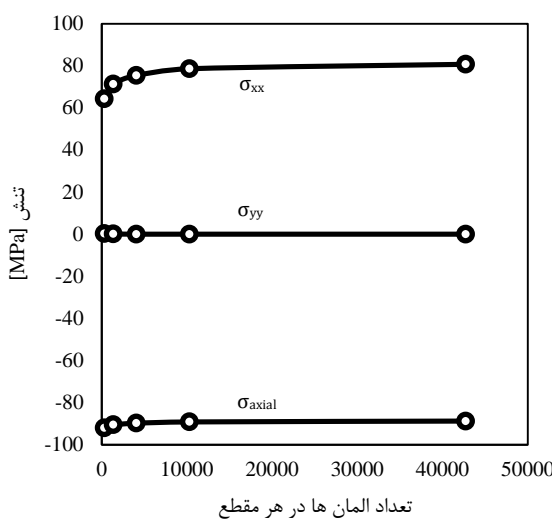
شکل ۵ المان‌های حجمی در نظر گرفته شده برای بررسی تأثیر افزودن سلوول‌ها به صورت عمودی

همان‌طور که مشاهده می‌شود، در شکل ۶ و شکل ۷ و شکل ۸، چون توزیع تنش‌ها در چهار المان حجمی معرف نمایش داده شده در شکل ۵ بسیار نزدیک به هم بدست آمده، نمودارها روی هم افتاده‌اند و تمیز دادن آن‌ها در شکل‌ها مشکل است. بنابراین افزودن سلوول‌ها به صورت عمودی نیز تأثیر چندانی روی توزیع تنش پسماند در الیاف نداشته است. لذا همان المان حجمی ۵ در شکل ۵، برای مدل‌سازی کفایت می‌کند.

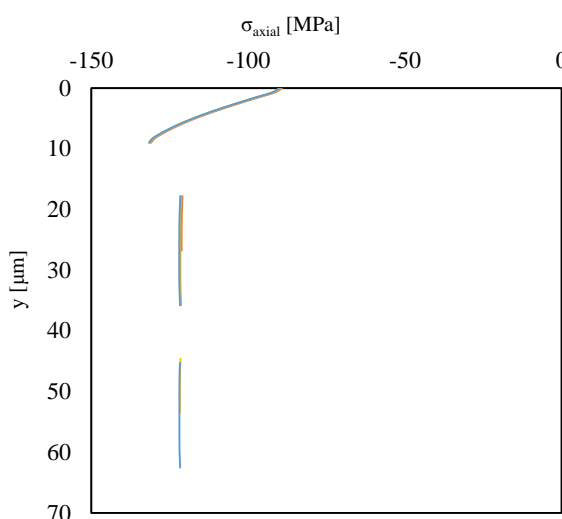
##### ۵- شبیه‌سازی آزمایش نفوذگر

در این بخش، به وسیله شبیه‌سازی آزمایش نفوذگری، به تحلیل مسائل زیر پرداخته شده است:

- ۱) یافتن مدول الاستیسیته شبیه
- ۲) یافتن مدول الاستیسیته تکرشته شبیه در کامپوزیت
- ۳) یافتن تنش یکنواخت اعمال شده در تکرشته شبیه در کامپوزیت
- ۴) یافتن تنش یکنواخت اعمال شده در شبیه
- ۵) یافتن تنش پسماند حرارتی در تکرشته شبیه در کامپوزیت



شکل ۹ بررسی تأثیر تعداد المان‌ها روی تنش پسماند

شکل ۸ توزیع تنش پسماند  $\sigma_{axial}$  در الیاف

در اینجا نفوذگر به صورت مخروطی با نیم زاویه راس  $70/3$  درجه مدل شده است. این مدل می‌تواند نماینده‌ی نفوذگرهای ویکرز و برکوبیج باشد [۵]. نوک نفوذگرهای واقعی هیچ گاه به صورت ایده‌آل تیز نیست و معمولاً در نفوذگرهای برکوبیج شعاع نوک حدود  $200\text{ nm}$  است که در این مدل نیز این شعاع نوک در نظر گرفته شده است. نفوذگر به صورت صلب مدل شده است، چراکه طبق پژوهش‌های پیشین [۱۸]، به دلیل اینکه نفوذگرهای سفتی بسیار بالایی دارند، این اغراض چندان تأثیری روی نتایج ندارد. همچنین ضربه اصطکاک بین نفوذگر و نمونه، صفر در نظر گرفته شده، چون این مورد هم تأثیر خاصی روی نتایج ندارد [۱۸]. بین نفوذگر و سطح نمونه، تماس سطح به سطح تعریف شده و سطح نفوذگر به عنوان سطح پایه<sup>۱</sup> و سطح نمونه به عنوان سطح پیرو<sup>۲</sup> انتخاب شده است. برای تعیین نحوه حرکت نسبی دو سطح نسبت به هم، گزینه لغزش محدود<sup>۳</sup> و برای تعیین قیود مکانیکی تماس، روش تماس جبرانی<sup>۴</sup> انتخاب شده است.

برای هر پنج مساله‌ی بیان شده، از مدل هندسی و مشبکنده شکل ۱۰ استفاده شده است. در مدل استفاده شده برای یافتن تنش و مدول الاستیسیته در شیشه، خواص تکرشته به کل نواحی مدل اعمال شده است.

نفوذگری در دو مرحله: (۱) بارگذاری تا عمق نفوذ پیشینه و (۲) باربرداری تا جایی کامل از سطح نمونه انجام شد. در طی بارگذاری، دو نوع تغییر شکل یا جابجایی در نمونه به وجود می‌آید. یکی تغییر شکل پلاستیک و دیگری تغییر شکل الاستیک که باعث یک بازگشت الاستیک در طی باربرداری می‌شود. پس از باربرداری، به دلیل تغییر شکل پلاستیک، در محل نفوذگری، اثری از نفوذگر باقی خواهد ماند.

نمونه‌ای از تغییر فرم پلاستیک و توزیع تنش پس از نفوذگری روی شیشه و تکرشته شیشه در کامپوزیت در حالتی که عمق نفوذ پیشینه برای هر دو  $200\text{ nm}$  است، در شکل ۱۱ و نمودار بار-جابجایی مربوط به آن در شکل ۱۲ نمایش داده شده است. نرخ بارگذاری و باربرداری در همه موارد  $5\text{ nm/s}$  بوده است. همان‌طور که در شکل ۱۲ مشخص است، بازگشت

استفاده از مدل‌های دوبعدی در مسائل مختلف، می‌تواند تحلیل‌های المان محدود را بسیار آسان‌تر کند و از هزینه‌های تحلیل بکاهد. محققین پیشین نشان داده‌اند که می‌توان نفوذگری را به صورت دوبعدی مدل کرد و نتایج شبیه‌سازی دوبعدی و سه‌بعدی، در شرایط تقارن محوری تفاوت اندکی با هم دارند [۱۷]. با این وجود، به دلیل شرایط مرزی و نوع بارگذاری‌ها، امکان استفاده از مدل دو بعدی در این پژوهش وجود ندارد. لذا بهمنظور کاهش زمان تحلیل و با کمک شرایط تقارن صفحه‌ای، مدل سه بعدی به صورت یک‌دوم تحلیل شده است. شکل ۱۰، نمایی از شبکه‌بندی مدل استفاده شده برای نفوذگری است و صفحه‌ی نمایش داده شده در شکل ۱۰-ب، صفحه تقارن است. نفوذگر به صورت پوسته صلب مدل شده است. شرایط مرزی شامل جابجایی یکسان تمام نقاط روی هر وجه خارجی در راستای عمود بر آن وجه می‌باشد، به جز صفحه‌ی بالایی که آزاد است. صفحه زیرین نیز در راستای  $u$  مقید شده است. نفوذگر فقط اجازه حرکت در راستای عمود بر سطح نمونه (محور  $u$ ) را دارد. به منظور افزایش دقیق در بررسی توزیع تنش، المان‌ها در زیر ناحیه نفوذگری بهشت ریز شده‌اند.

بسته به عمق نفوذگرهای مختلف، بین  $6000$  تا  $66000$  المان در مدل‌ها استفاده شده است. المان‌های استفاده شده از نوع C3D8R، یعنی المان‌های مکعبی<sup>۵</sup> نقطه‌ای هستند و با ناحیه‌ی بندی‌های مختلف، سعی شده تمامی شبکه‌بندی‌ها به صورت آجری بسیار منظم انجام شوند.

در شکل ۹، برای بررسی تأثیر اندازه و تعداد المان‌های مدل بر تنش پسماند، مقدار تنش پسماند در مرکز تکرشته سطحی در شکل ۵<sup>۶</sup> شاخص قرار گرفته است. با توجه به شرایط مرزی، توزیع تنش در طول المان حجمی (راستای  $z$ ) یکنواخت خواهد بود. به همین دلیل محور افقی در شکل ۹ با عنوان تعداد المان‌ها در هر مقطع عمود بر محور  $z$  انتخاب شده است. همان‌طور که از شکل ۹ مشخص است، وقتی تعداد المان‌ها تقریباً از  $10000$  المان در هر مقطع تجاوز می‌کند، نتایج به ثبات می‌رسند. مقایسه نتایج شکل ۹ با نتایج شکل ۶ و شکل ۷<sup>۷</sup> در  $y=0$  تطابق خوبی را نشان می‌دهد.

روش لی، برای نفوذگرهای تیز توسعه یافته است، بنابراین می‌توان از نفوذگرهای ویکرز، برکوبیج و مخروطی استفاده کرد.

1. Master  
2. slave  
3. Finite sliding  
4. Penalty contact

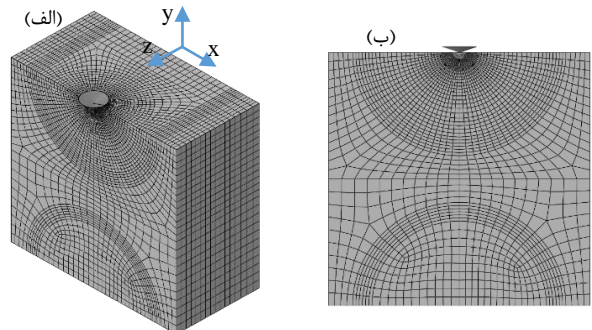
این اختلاف ۸ نانومتری، به این دلیل است که در کامپوزیت، در زیر تکرشته ماتریس نرم وجود دارد. این ماتریس نرم در زیر تکرشته، باعث می‌شود که در نیروی ثابت نفوذگری، جایجایی بیشتری دیده شود یا اینکه در جایجایی ثابت، در کامپوزیت نسبت به تکرشته شبیه، نیروی کمتری دیده شود.

الاستیک شبیه در طی باربرداری ۳۶ nm بوده است، در حالی که بازگشت الاستیک برای تکرشته شبیه در کامپوزیت ۴۴ nm بوده است.

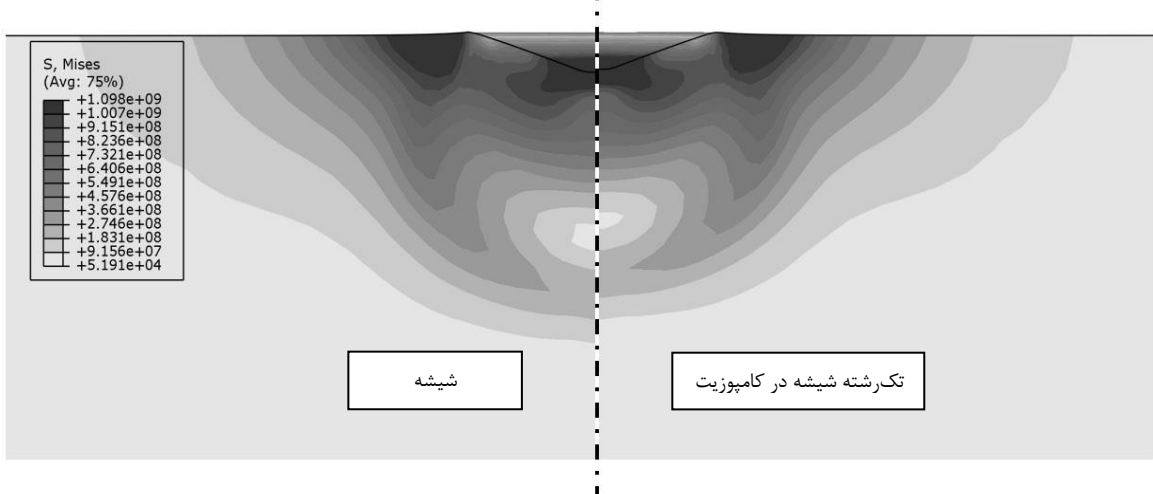
#### ۵- یافتن مدول الاستیسیته شبیه

در این بخش سعی شده تا مدول الاستیسیته شبیه، با استفاده از نتایج نفوذگری، استخراج شود. عمق نفوذ بیشینه ۲۰۰ nm انتخاب شده است. چون نفوذگر به صورت صلب مدل شده است، رابطه الیور-فار [۶] برای تعیین مدول الاستیسیته را می‌توان به فرم رابطه (۷) نوشت.

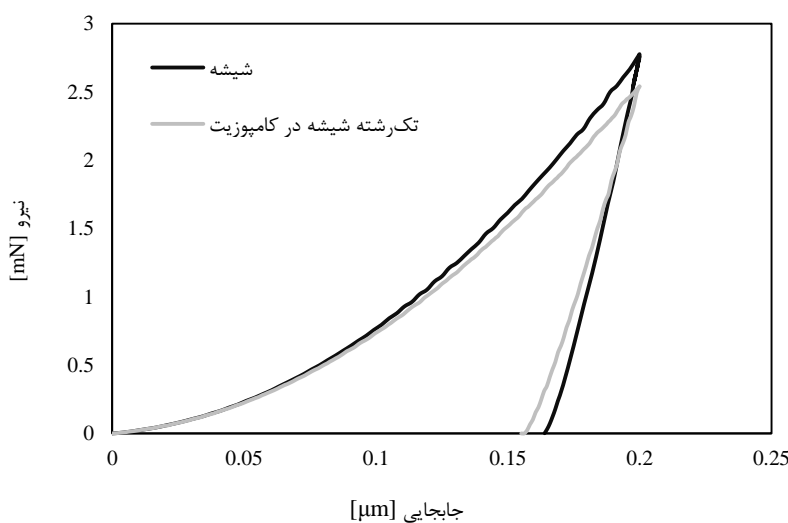
$$E = E_{\text{eff}}(1 - v^2) \quad (7)$$



شکل ۱۰ (الف) نمای ایزومتریک و (ب) نمای روپرو از شبکه‌بندی مدل استفاده شده برای نفوذگری



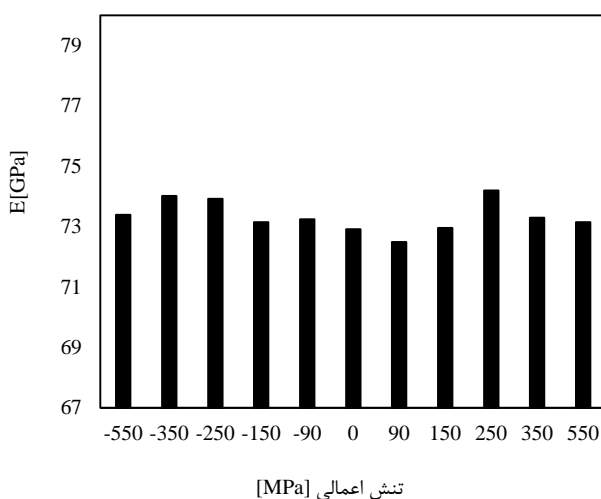
شکل ۱۱ نمونه‌ای از تغییر فرم پلاستیک باقیمانده در محل نفوذگری وقتی بیشینه عمق نفوذ ۲۰۰ nm است



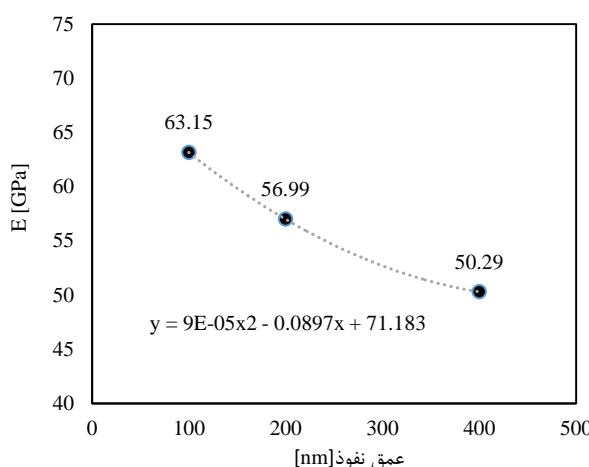
شکل ۱۲ نمودار بار-جایجایی مربوط به نفوذگری شبیه و تکرشته شبیه در کامپوزیت با عمق نفوذ بیشینه ۲۰۰ nm

همان‌طور که قبلاً گفته شد، مقدار ضریب تصحیح  $\beta$  برای نفوذگر شبیب اولیه منحنی باربرداری است و طبق نمودار بار-جایجایی برای شبیه در مخروطی معادل ۱/۰۵۹۵ است و ضریب پواسون ۰/۱۸ برای شبیه ۰/۱۲ است. S

عمق نفوذ در تکرشته شیشه در کامپوزیت یافته شود. برونویابی برای یافتن مدول الاستیسیته تکرشته در کامپوزیت در شکل ۱۵ نشان داده است.



شکل ۱۴ رابطه مدول الاستیسیته با تنش اعمالی در شیشه



شکل ۱۵ برونویابی برای یافتن مدول الاستیسیته تکرشته در کامپوزیت

طبق شکل ۱۵، مقادیر مدول الاستیسیته تخمین زده شده برای تکرشته، با افزایش عمق نفوذگری کاهش می‌یابد و هر چه عمق نفوذگری کمتر شود، مقادیر تخمین زده شده به مدول الاستیسیته تکرشته نزدیک‌تر می‌شود. دلیل این پدیده وجود ماتریس نرم در اطراف الیاف سفت است و هر چه عمق نفوذگری بیشتر می‌شود، تأثیر ماتریس روی نتایج بیشتر خواهد شد. برای حذف تأثیر ماتریس، باید عمق نفوذگری را تا نزدیک صفر کاهش داد. برای این منظور، داده‌ها به سمت عمق صفر برونویابی شده‌اند. لذا یک تابع چند جمله‌ای درجه دو بر داده‌ها برازش شده‌است. این تابع، در عمق صفر، مقدار  $71/2 \text{ GPa}$  را پیش‌بینی می‌کند که به مدول الاستیسیته تکرشته که  $73 \text{ GPa}$  می‌باشد، بسیار نزدیک است.

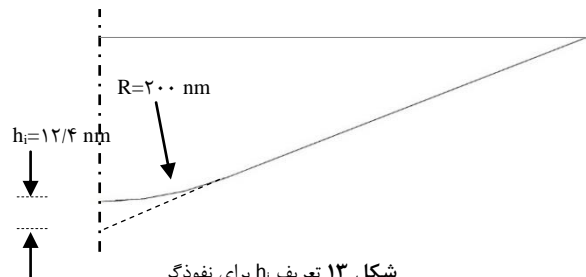
۳-۵- یافتن تنش یکنواخت اعمال شده در تکرشته شیشه در کامپوزیت در این بخش ابتدا یک تنش تکمحوره در جهت تکرشته، به نحوی به کامپوزیت اعمال شده‌است که تنش مشخصی را در تکرشته ایجاد کند و

h<sub>c</sub> عمق تماس در بار بیشینه است و می‌توان آن را با استفاده از رابطه پیشنهاد شده توسط الیور و فار، به صورت تابعی از عمق نفوذ بیشینه، بار بیشینه و شب اولیه منحنی باربرداری، تخمین زد.

$$h_c = h_{max} - \varepsilon \frac{F_{max}}{S} \quad (8)$$

اما چون این تخمین دقیق نیست و با مقداری خطأ همراه است، در این پژوهش از نتایج شبیه‌سازی برای تعیین h<sub>c</sub> استفاده شده است.

طبق شکل ۱۳، به دلیل وجود شعاع نوک، عمق نفوذگر از مخروط کامل مقداری کمتر است. این اختلاف در اینجا با h<sub>c</sub> نامگذاری شده است. برای اینکه h<sub>c</sub> (۱)، بتواند به درستی سطح تماس را تعیین کند، باید مقدار h<sub>c</sub> را به اضافه کرد. برای شعاع نوک nm  $h_c = 12/4 \text{ nm}$ ،  $200 \text{ nm}$  به دست می‌آید.



شکل ۱۳ تعریف h<sub>c</sub> برای نفوذگر

در اینجا برای عمق نفوذ بیشینه nm  $200$ ، مقدار عمق تماس h<sub>c</sub>، از شبیه‌سازی nm  $186/1$  بدست آمده که باید آن را با  $12/4$  جمع کرد. با استفاده از رابطه الیور-فار،  $h_c = 177/4$  به دست می‌آید. با توجه به داده‌های بالا، مقدار مدول الاستیسیته برای شبیه‌سازی  $72/92$  به دست آمد که به مقدار واقعی آن یعنی  $73 \text{ GPa}$  بسیار نزدیک است. مقدار مدول الاستیسیته با استفاده از رابطه الیور-فار برای تعیین h<sub>c</sub>  $76/2 \text{ GPa}$  به دست می‌آید، که مقداری خطأ دارد.

#### ۵-۱-۱- وابستگی مدول الاستیسیته به تنش اعمالی در شبیه‌سازی

در این بخش، هدف بررسی تأثیر تنش روی مدول الاستیسیته استخراج شده از روش الیور-فار است. در شکل ۱۴، شبیه‌سازی تنش‌های تکمحوره مختلفی واقع شده است و در هر حالت تنشی، مدول الاستیسیته به دست آمده است.

همان‌طور که مشاهده می‌شود مدول الاستیسیته از تنش اعمالی مستقل است. اندک تفاوت‌هایی که در نمودار مشاهده می‌شود به دلیل خطاهای عددی و عدم توانایی در استخراج دقیق مساحت تماس است.

#### ۵-۲- یافتن مدول الاستیسیته تکرشته شبیه‌سازی در کامپوزیت

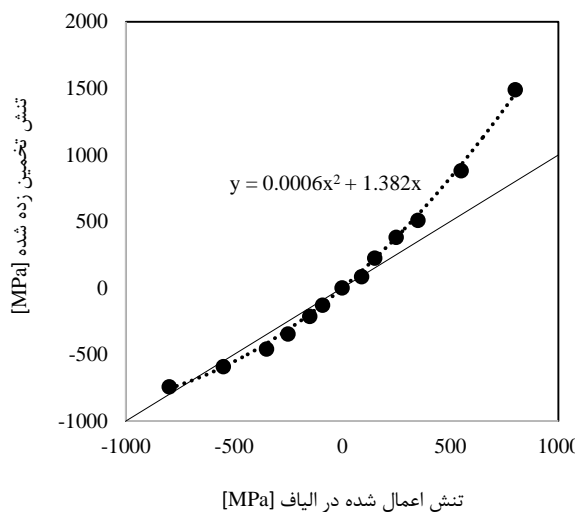
در یک ماده تک فاز، مدول الاستیسیته تخمین زده شده به وسیله آزمایش نفوذگری، به عمق نفوذگری وابسته نیست. اما در مواد دو یا چند فازی، به دلیل اینکه خواص مکانیکی هر فاز با دیگری متفاوت است، بسته به نحوه نفوذگری، ممکن است خواص اندازه‌گیری شده، به عمق نفوذ وابستگی داشته باشد.

مثلاً در این مسئله، به دلیل اینکه محیط اطراف الیاف، یعنی ماتریس و ناحیه فار مشترک، روی نتایج نفوذگری در تکرشته تأثیر می‌گذارد، پس احتمالاً مدول الاستیسیته تخمین زده شده برای تکرشته، به عمق نفوذ وابسته خواهد بود. در اینجا سعی شده است وابستگی مدول الاستیسیته به

برای بررسی عملکرد و دقت روش لی [۹] در تخمین تنش‌پسماند از منحنی شکل ۱۸ استفاده شد. در این منحنی، محور افقی تنش‌هایی است که به صورت پیش فرض در تک‌رشته اعمال شده است و محور عمودی تنش‌هایی است که از شبیه‌سازی آزمایش نفوذگری و از روش لی بدست آمد است.

همان‌طور که مشاهده می‌شود، روش لی تنش‌های فشاری را به خوبی پیش‌بینی کرده است در صورتی که در حالت کششی، خطای روش با افزایش تنش بیشتر می‌شود و تنش‌ها رابطه بین تنش‌های اعمال شده و تنش‌های

به نظر می‌رسد می‌توان رابطه بین تنش‌های اعمال شده و تنش‌های تخمین زده شده را با یکتابع درجه‌دو تعریف کرد. ممکن است به ذهن خواننده خطوط کند که این تابعیت درجه‌دو می‌تواند ناشی از هندسه متقابل الیاف و ماتریس وجود ماتریس نرم در محیط الیاف باشد، اما همان‌طور که در مقدمه بیان شد، تمام این بررسی‌ها در مدلی که خواص تمامی نواحی آن از تک‌رشته شبیه است، نیز انجام خواهد شد. مدل شبیه‌ای مذکور، یک ماده تک فازی است و دیگر مثل کامپوزیت یک ماده چند فازی محسوب نمی‌شود که نتایج آن بخواهد از فازهای دیگر تأثیر بپذیرد.

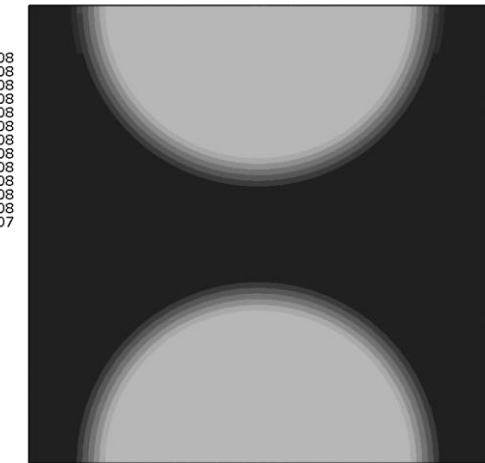


شکل ۱۸ رابطه بین تنش‌های اعمال شده و تنش‌های تخمین زده شده در تک‌رشته در کامپوزیت

۵-۱-۳-۵- بررسی وابستگی نتایج پیش‌بینی تنش‌پسماند در تک‌رشته در کامپوزیت به عمق نفوذ

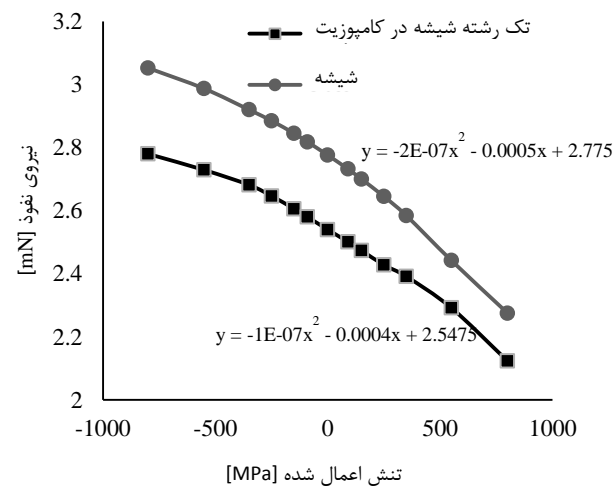
در بخش ۲-۵، مشاهده شد که برای به دست آوردن مدول الاستیسیته در تک‌رشته در کامپوزیت، داده‌ها با پیوستی در عمق نفوذ صفر، برون‌بابی شود تا تأثیرات ماتریس و ناحیه فاز مشترک از نتایج نفوذگری در الیاف حذف شود. در اینجا وابستگی تنش‌های پسماند پیش‌بینی شده به عمق نفوذ، در تک‌رشته در کامپوزیت بررسی شده است. برای این منظور به کامپوزیت تنش‌های مشخصی القا شده است و سپس در سه عمق نفوذ پیشینه‌ی ۲۰۰ nm و ۴۰۰ nm، تنش‌ها از روش لی تعیین شده‌اند. همان‌طور که در شکل ۱۹ مشاهده می‌شود با تغییر عمق نفوذ پیشینه‌ی نفوذگری، نتایج تغییری چندانی نکرده‌است. این نشان می‌دهد که در کامپوزیت، نتایج پیش‌بینی تنش‌پسماند توسط روش لی، از عمق نفوذگری مستقل است. برای به دست آوردن مدول الاستیسیته تک‌رشته در کامپوزیت، داده‌ها با پیوستی در عمق نفوذ صفر، برون‌بابی شود تا تأثیرات ماتریس و ناحیه فاز مشترک از نتایج نفوذگری در

سپس از طریق شبیه‌سازی آزمایش نفوذگری، این تنش‌ها تخمین زده شده‌است. نمونه‌ای از اعمال تنش تک‌محوره در شکل ۱۶ آورده شده است. یادآوری می‌شود که تنش تسلیم تک‌رشته شبیه در مدل استفاده شده، کم تا مقادیر نزدیک به تنش تسلیم الیاف، به صورت کششی و فشاری، اعمال شود.



شکل ۱۶ توزیع تنش در کامپوزیت در اثر اعمال بار کششی تک‌محوره ۸۰۰ MPa

در شکل ۱۷ رابطه بین تنش یکنواخت اعمال شده به تک‌رشته شبیه در کامپوزیت و نیروی نفوذگری در آن نشان داده شده است.



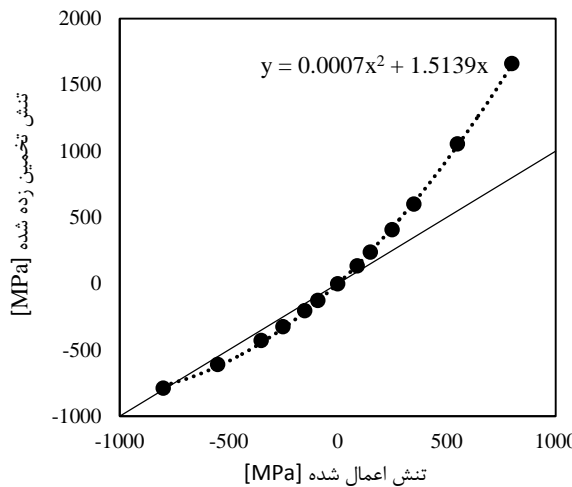
شکل ۱۷ رابطه بین تنش اعمال شده و نیروی نفوذگری در تک‌رشته شبیه در کامپوزیت و شبیه در عمق نفوذ پیشینه ۲۰۰ nm

همان‌گونه که مشاهده می‌شود با افزایش تنش از حالت فشاری به کششی، نیروی نفوذگری کاهش می‌یابد. به نظر می‌رسد که رابطه بین نیروی نفوذگری و تنش اعمال شده، از یک منحنی درجه‌دو تبعیت می‌کند. این تابعیت درجه‌دو برای تنش‌های تک‌محوره توسط دیگر محققین نیز به دست آمده است [۱۹].

رابطه بین نیروی نفوذگری و تنش اعمال شده هم از یک منحنی درجه دو تعیین می‌کند.

در شکل ۱۷ نیروی نفوذگری در عمق نفوذ بیشینه یکسان ۲۰۰ nm در تکرشته شیشه در کامپوزیت و شبیه، تحت تنش‌های مختلف مقایسه شده‌اند. همان‌طور که ملاحظه می‌شود، نیروی نفوذگری در تکرشته در کامپوزیت کمتر است.

برای بررسی عملکرد و دقیق روش لی در تخمین تنش‌پسماند در شبیه، از منحنی شکل ۲۰ استفاده شد. همان‌طور که مشاهده می‌شود روش لی تنش‌های فشاری را در شبیه نیز به خوبی پیش‌بینی کرده است، در صورتی که در حالت کششی، خطای روش با افزایش تنش بیشتر می‌شود و تنش‌ها را بیشتر از مقدار واقعی‌شان تخمین می‌زنند. خطاهای حاصله در حالت کششی در شبیه، حتی از خطاهای به دست آمده در حالت کششی برای تک رشته در کامپوزیت هم بیشتر است.



شکل ۲۰ رابطه بین تنش‌های اعمال شده و تنش‌های تعیین شده در شبیه

در اینجا نیز مثل تک رشته در کامپوزیت می‌توان رابطه بین تنش‌های اعمال شده و تنش‌های تخمین زده شده را با یکتابع درجه دو تعریف کرد. لذا با مقایسه شکل ۱۸ و شکل ۲۰ می‌توان به این نتیجه رسید که آن تابعیت درجه دو در تکرشته در کامپوزیت که در شکل ۱۸ دیده شد، ناشی از هندسه متقابل الیاف و ماتریس و وجود ماتریس نرم در محیط الیاف نبوده است.

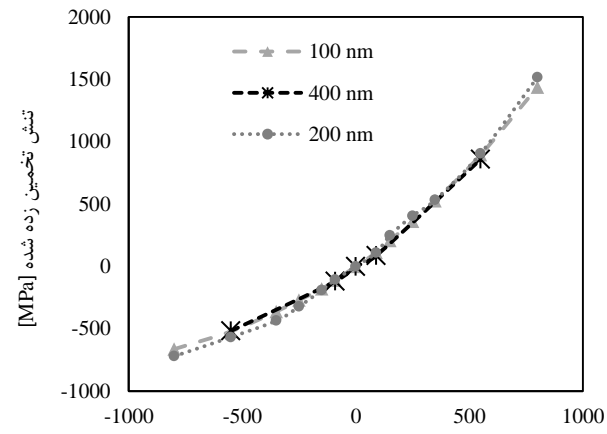
#### ۵-۴-۱- بررسی وابستگی نتایج پیش‌بینی تنش‌پسماند در شبیه به عمق

در این قسمت وابستگی تنش‌های پسماند پیش‌بینی شده به عمق نفوذ، در شبیه بررسی شده است. برای این منظور به شبیه تنش‌های مشخصی القا شده و سپس در دو عمق نفوذ بیشینه ۲۰۰ و ۴۰۰ nm، تنش‌ها از روش لی تعیین شده‌اند. همان‌طور که در شکل ۲۱ مشاهده می‌شود با در برابر کردن عمق نفوذگری نتایج تغییری نکرده است. این نشان می‌دهد که برای شبیه، نتایج از عمق نفوذگری مستقل است.

در شکل ۲۲ تفاوت تنش‌های پیش‌بینی شده در عمق نفوذ یکسان ۲۰۰ nm در شبیه و تکرشته در کامپوزیت، نمایش داده شده است. همان‌طور که از نمودار مشخص است، در بیشتر نواحی تنشی نمودارها تطابق خوبی با هم دارند و فقط وقتی تنش‌های کششی بزرگ باشد، نتایج مقداری اختلاف

الیاف حذف شود اما در اینجا مشاهده شد که برای یافتن تنش‌پسماند، نیازی به این کار نیست و نتایج مستقیماً قابل استفاده است.

همان‌طور که قبل از آنکه شد، برای تعیین مدول الاستیسیته از منحنی نیرو-جایجایی نفوذگری، از رابطه الیور-فار استفاده می‌شود. رابطه الیور-فار و درنتیجه مدول الاستیسیته، به شبیه منحنی باربرداری در بار بیشینه  $(dP/dh)_{hmax}$  وابسته است و مقدار  $(dP/dh)_{hmax}$  تنشی از عمق نفوذگری در لحظه ابتدای باربرداری وابسته است. این جایجایی ترکیبی از بازگشت الاستیک ناچیه نفوذگری شده در الیاف و بازگشت الاستیک ماتریس است. لذا می‌توان استنباط کرد که مدول الاستیسیته محاسبه شده، از عمق نفوذ تأثیر می‌پذیرد. اما وابستگی اصلی رابطه لی و همکارانش برای تخمین تنش‌پسماند، به اختلاف نیروی نفوذگری به وجود آمده در عمق ثابت، در اثر تنش‌پسماند است. اگرچه این رابطه به عمق تماس  $h$  (یا سطح تماس  $A_c$ ) نیز وابسته است، اما بررسی‌های انجام شده در این پژوهش، نشان می‌دهد که این رابطه، به نیروی نفوذگری بسیار حساس‌تر است. چون این نیروها، هر دو در یک ترکیب مادی و یک هندسه اندازه‌گیری می‌شوند، می‌توان انتظار داشت که تا عمق نفوذ خاصی که به اندازه کافی از ضخامت ماده فاز اول (در اینجا ضخامت الیاف) کوچک‌تر باشد، می‌توان بدون تأثیر پذیری از دیگر فازها (در اینجا ناجیه فاز مشترک و ماتریس) تنش‌پسماند را تخمین زد.



شکل ۱۹ رابطه بین تنش‌های اعمال شده و تنش‌های تخمین زده در تکرشته در کامپوزیت، در عمق نفوذ‌های مختلف

گفتنی است که برای اعمال نفوذ در عمق‌های مختلف، مشبندی مقداری تغییر کرده است، با این وجود نتایج به خوبی بر هم منطبقند.

۵-۴-۲- تعیین تنش اعمالی به شبیه از طریق نفوذگری  
در این بخش ابتدا یک تنش تکمحوره مشخص به مدل شبیه اعمال شده و سپس از طریق شبیه‌سازی آزمایش نفوذگری، این تنش تخمین زده شده است. برخلاف شکل ۱۶ برای کامپوزیت، در اینجا تنش اعمال شده به مدل، در تمامی نقاط تنش یکسانی را ایجاد می‌کند. در شکل ۱۷ نیز رابطه بین تنش یکنواخت اعمال شده به شبیه و نیروی نفوذگری نشان داده شده است. همان‌گونه که مشاهده می‌شود، در اینجا نیز مثل تکرشته در کامپوزیت، با افزایش تنش از حالت فشاری به کششی، نیروی نفوذگری کاهش می‌یابد و

داده شده است، این ویژگی را ندارد و تنش‌ها در عمق متغیر هستند. به همین دلیل میانگینی از تنش در عمق نفوذگری معیار واقع شده تا بتوان این میانگین تنش را از نتایج استخراج کرد.

طبق نمودارهای توزیع تنش در تکرشته شیشه در کامپوزیت در شکل ۶ و شکل ۷ و شکل ۸ به ترتیب میانگین تنش‌های  $\sigma_{xx}$  و  $\sigma_{yy}$  و  $\sigma_{axial}$  در عمق نفوذگری که در اینجا ۲۰۰ nm است، مقادیر  $+75$  MPa و  $-90$  MPa است. همان‌طور که گفته شد، روش لی و همکارانش جمع‌جبری تنش‌های سطحی را تعیین می‌کند.

$$P_R = \frac{-(\sigma_R^x + \sigma_R^y)}{3} A_C \quad (9)$$

که در آن  $P_R$  اختلاف نیروی نفوذگری است و  $\sigma_R^x$  و  $\sigma_R^y$  تنش‌های پسماند سطحی هستند. لذا مقدار مورد انتظار برای پیش‌بینی  $+75$  MPa و  $-90$  MPa است. نتایج مدل‌سازی در جدول ۲ آمده است.

جدول ۲ نتایج نفوذگری در تکرشته در کامپوزیت دارای تنش‌پسماند حرارتی

	عمق تماس [mN]	نیروی نفوذگری [nm]
نتایج بعد از اعمال بارگذاری حرارتی	۲/۵۵۴	۱۸۱/۱
نتایج قبل از اعمال بارگذاری حرارتی	۲/۵۴۵	۱۸۰/۱

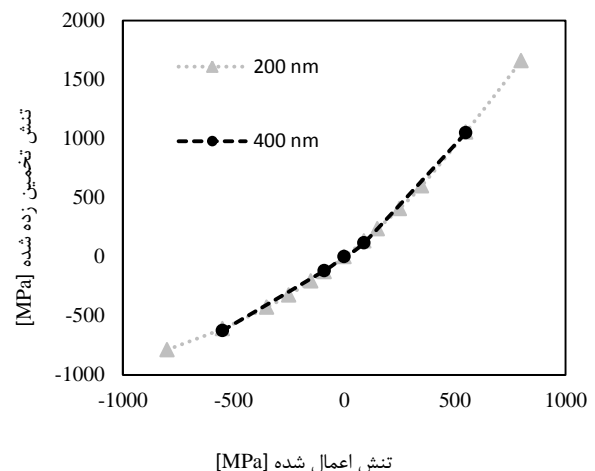
همان‌طور که مشاهده می‌شود مقادیر بسیار به هم نزدیک هستند، به صورتی که عمق تماس تنها ۱ nm و نیروی نفوذگری تنها  $N \mu$  اختلاف دارند. این نشان‌دهنده حساسیت بسیار بالای کار است و کوچک‌ترین خطای می‌تواند نتایج را بهشت دور از انتظار کند.

با توجه به داده‌های بالا طبق روش لی، مقدار  $-30/4$  MPa برای مجموع تنش‌های سطحی تکرشته شیشه در کامپوزیت به دست می‌آید، در حالی که مقدار  $MPa -15$  مورد انتظار بود. هرچند که مقدار تنش به دست آمده دو برابر مقدار مورد انتظار است، اما با توجه به شرایط موجود، همین تخمین نیز بسیار مطلوب است.

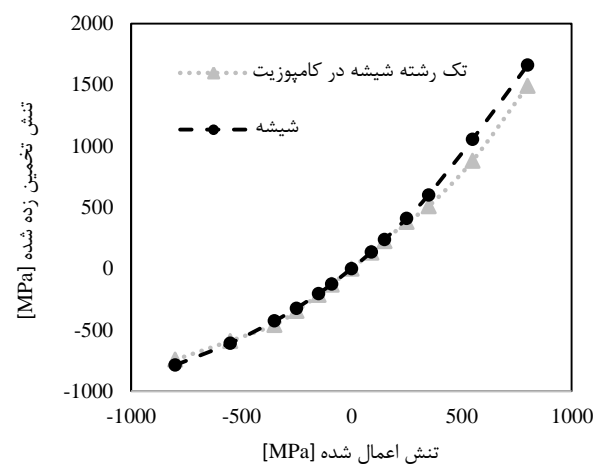
چرا که اولاً روش‌های تعیین تنش‌های پسماند از طریق نفوذگری عموماً نیاز دارند که مقدار تنش‌پسماند موجود در مقایسه با تنش تسلیم ماده به اندازه کافی بزرگ باشد، در صورتی که در اینجا تنش‌پسماند در تکرشته شیشه در کامپوزیت ( $MPa -15$ )، نسبت به تنش تسلیم الیاف شیشه ( $MPa 1100$ )، بسیار پایین‌تر است. ثانیاً همان‌طور که گفته شد، در این روش‌ها عموماً فرض بر این است که توزیع تنش‌پسماند سطحی در عمق ماده یکسان باشد در صورتی که توزیع تنش در اینجا، تغییرات شدیدی در راستای عمق دارد. ثالثاً این روش‌ها عموماً در حالتی که توزیع سطحی تنش‌پسماند به فرم برشی خالص باشد، قادر به تعیین تنش‌پسماند نیستند. در اینجا نیز توزیع تنش‌پسماند سطحی، به برشی خالص نزدیک بود. چراکه بکی از تنش‌ها  $-90$  MPa و دیگری  $+75$  MPa بود.

در انتهای باید اشاره شود که خطاهای عددی، بخصوص در محیط explicit نرم‌افزار آبکوس در نتایج بی‌تأثیر نبوده است.

دارد. این نتیجه نیز بسیار جالب است و به استنتاجی که در انتهای بخش ۵-۴ بیان شد، صحه می‌گذارد.



شکل ۲۱ رابطه بین تنش‌های اعمال شده و تنش‌های تعیین شده در شیشه در دو عمق نفوذ مختلف



شکل ۲۲ مقایسه نتایج تخمین تنش در شیشه و تکرشته در کامپوزیت در عمق نفوذ بیشینه یکسان  $200$  nm

قبل‌وقتی مشاهده شد که عمق نفوذ در تکرشته در کامپوزیت روی تخمین تنش‌پسماند، تقریباً بی تأثیر است (تا عمق نفوذی خاص)، این نتیجه‌گیری انجام شد که در کامپوزیت می‌توان بدون تأثیرپذیری از دیگر فارها، تنش‌پسماند را تخمین زد.

#### ۵-۵- تعیین تنش‌پسماند حرارتی در تکرشته شیشه در کامپوزیت از طریق نفوذگری

در این قسمت، مایکروتنش‌های پسماند حرارتی در الیاف، از طریق شیشه‌سازی آزمایش نفوذگری تخمین زده شده است. یکی از شروط مشترک روش‌های تخمین تنش‌پسماند به وسیله نفوذگری، این است که تنش‌پسماند سطحی در عمق، ثابت باشد [۴]. اما توزیع تنش‌پسماند، در تکرشته موردنظر این پژوهش، همان‌گونه که در شکل ۶ و شکل ۷ و شکل ۸ نمایش

- [8] Lee, Y.-H. and Kwon, D., "Measurement of Residual-Stress Effect by Nanoindentation on Elastically Strained (1 0 0) W," *Scripta Materialia*, Vol. 4, pp. 459-465, 2003.
- [9] Lee, Y.-H. and Kwon, D., "Estimation of Biaxial Surface Stress by Instrumented Indentation with Sharp Indenters," *Acta Materialia*, Vol. 52, pp. 1555-1563, 2004.
- [10] Taljat, B. and Pharr, G. M., "Measurement of Residual Stresses by Load and Depth Sensing Spherical Indentation," *Materials Research Society Symposium - Proceedings*, Vol. 594, pp. 519-524, 2000.
- [11] Swadener, J. G., Taljat, B., and Pharr, G. M., "Measurement of Residual Stress by Load and Depth Sensing Indentation with Spherical Indenters," *Journal of Materials Research*, Vol. 16, pp. 2091-2102, 2001.
- [12] Chen, X., Yan, J., and Karlsson, A. M., "On the Determination of Residual Stress and Mechanical Properties by Indentation," *Materials Science and Engineering A*, Vol. 416, pp. 139-149, 2006.
- [13] Xu, Z.-H. and Li, X., "Influence of Equi-Biaxial Residual Stress on Unloading Behaviour of Nanoindentation," *Acta Materialia*, Vol. 53, pp. 1913-1919, 2005.
- [14] Jin, K. K., Oh, J. H., and Ha, S. K., "Effect of Fiber Arrangement on Residual Thermal Stress Distributions in a Unidirectional Composite," *Journal of Composite Materials*, Vol. 41, pp. 591-611, 2006.
- [15] Chawla, K. K., "Composite Materials: Science and Engineering, 1998," ed: Springer, New York.
- [16] Wallenberger, F. T. and Bingham, P. A., "Fiberglass and Glass Technology," 2010.
- [17] Lichinchi, M., Lenardi, C., Haupt, J., and Vitali, R., "Simulation of Berkovich Nanoindentation Experiments on Thin Films," Vol. 333, pp. 278-286, 1998.
- [18] Khan, M. K., Fitzpatrick, M. E., Hainsworth, S. V., and Edwards, L., "Effect of residual stress on the nanoindentation response of aerospace aluminium alloys," *Computational Materials Science*, Vol. 50, pp. 2967-2976, 2011.
- [19] Huber, N. and Heerens, J., "On the Effect of a General Residual Stress State on Indentation and Hardness Testing," *Acta Materialia*, Vol. 56, pp. 6205-6213, 2008.

## ۶- جمع‌بندی و نتیجه گیری

در هر یک از لایه‌های مربوط به یک چندلایه کامپوزیتی به دلیل عدم تطابق در ضرایب انبساط حرارتی اجزای اصلی کامپوزیت، تنش‌های مایکرو وجود دارند که بر میدان تنش‌های پسماند چندلایه مؤثر هستند. طبق تحقیقات پیشین، صرف‌نظر کردن از مایکرو‌تش‌های پسماند، می‌تواند منجر به خطای قابل ملاحظه‌ای در پیش‌بینی تنش‌های پسماند هر یک از لایه‌های یک چندلایه کامپوزیتی گردد. در این پژوهش روش مکانیکی نانوفوذگر برای تعیین این تنش‌ها مورد استفاده قرار گرفت.

در شبیه‌سازی‌ها به مواد به دو صورت تنش اعمال شد. یکی بهصورت تنش یکنواخت در راستای طولی و دیگری بهصورت تنش حرارتی ناشی از عدم تطابق خواص حرارتی فارهای ماده. سپس بهصورت معکوس، با استفاده از نتایج شبیه‌سازی آزمایش نفوذگر این تنش‌ها محاسبه شدند. برای بررسی تأثیر ماتریس روی نتایج نفوذگر، شبیه‌سازی نفوذگر روی ماده‌ی تک فازی که خواص الیاف را داشته باشد و هندسه آن مشابه کامپوزیت باشد، نیز اعمال شد.

مهم‌ترین نتایجی که از بررسی‌ها به دست آمد، موارد زیر است:

- در طی تعیین مدول الاستیسیته تکرشته شبیه در کامپوزیت، به وسیله نفوذگر، حضور ماتریس روی خواص استخراج شده تأثیرمی گذارد. این تأثیر وابسته به عمق نفوذ است. برای از بین بردن این تأثیر باید عمق نفوذ را به سمت صفر میل داد. بنابراین می‌توان با برونویابی داده‌های بهدست‌آمده در عمق‌های مختلف، به مدول الاستیسیته الیاف دست یافت.
- مدول الاستیسیته استخراج شده از روش نفوذگر، از تنش اعمالی به جسم تقریباً مستقل است.
- مدول نفوذگر مستقل است.

- برای تعیین تنش‌پسماند در تک رشتہ در کامپوزیت، برخلاف مدول الاستیسیته، نیازی به برونویابی داده‌ها نیست و تنش‌های بهدست‌آمده از عمق مستقل‌اند.

- رابطه بین تنش‌های پسماند درون جسم و تنش‌های پیش‌بینی شده از یک تابع درجه‌دو تبعیت می‌کند، بنابراین با داشتن سه نقطه از این منحنی می‌توان تمام نقاط آن را پیش‌بینی کرد.
- با وجود تغییرات شدید تنش در راستای عمق کامپوزیت، میانگین تنش‌های سطحی با خطای قابل قبولی به دست آمد.

## ۷- مراجع

- [1] Ghasemi, A. R., "Determination of Residual Stresses in Laminated Composites," In Persian, Ph.D Thesis, Iran University of Science and Technology, Iran, 2011, 2007.
- [2] Safarabadi, M., "Analytical Solution for Determination of Curing Residual Stresses in Composite Lamintes," In Persian, Ph.D Thesis, Iran University of Science and Technology, Iran, 2011.
- [3] Stango, R. J. and Wang, S. S., "Process-Induced Residual Thermal Stresses in Advanced Fiber-Reinforced Composite Laminates," *Journal of Manufacturing Science and Engineering*, Vol. 106, pp. 48-54, 1984.
- [4] Jang, J. I., "Estimation of residual stress by instrumented indentation: A review," *Journal of Ceramic Processing Research*, Vol. 10, pp. 391-400, 2009.
- [5] Fischer-Cripps, A. C., *Nanoindentation*: Springer Science & Business Media, 2011.
- [6] Oliver, W. C. and Pharr, G. M., "Measurement of Hardness and Elastic Modulus by Instrumented Indentation: Advances in Understanding and Refinements to Methodology," *Journal of Materials Research*, Vol. 19, pp. 3-20, 2004.
- [7] Suresh, S. and Giannakopoulos, a. E., "A New Method for Estimating Residual Stresses by Instrumented Sharp Indentation," *Acta Materialia*, Vol. 46, pp. 5755-5767, 1998.